

## ЛИТЕРАТУРА

1. Заславский Г. М., Мейтис В. П., Филоненко Н. Н. Взаимодействие волн в неоднородных средах.— Новосибирск: Наука, 1982.
2. Федорюк М. В. Асимптотические методы для линейных обыкновенных дифференциальных уравнений.— М.: Наука, 1983.
3. Коваленко Г. П. Метод связанных параметров в теории упругости непрерывно-неоднородных сред // Механика неоднородных структур. Тез. докл. I Всесоюз. конф.— Киев: Наук. думка, 1983.
4. Коваленко Г. П. Матричные алгоритмы метода асимптотически эквивалентных систем в задачах неоднородной вязкоупругости // Восьмая Всесоюз. конф. по прочности и пластичности. Тез. докл.— Пермь, 1983.
5. Фещенко С. Ф., Шкиль Н. Н., Николенко Л. Д. Асимптотические методы в теории линейных дифференциальных уравнений.— Киев: Наук. думка, 1966.
6. Гринченко В. Т., Мелешко В. В. Гармонические колебания и волны в упругих телах.— Киев: Наук. думка, 1981.

Поступила 17/IV 1986 г.

УДК 539.374

## АНТИПЛОСКАЯ ДЕФОРМАЦИЯ УПРУГОПЛАСТИЧЕСКОЙ ПОЛОСЫ С ПОЛУБЕСКОНЕЧНОЙ ТРЕЩИНОЙ

В. Г. Новиков

(Москва)

Особенности и детали пластического течения у вершины трещины определяют ее развитие [1]. Поэтому важно иметь правильное представление о форме и размерах пластической зоны, об интенсивности деформаций в ней. В связи с этим большое значение приобретают задачи, в ходе решения которых, помимо определения напряжений и деформаций, должна быть определена без предварительных допущений граница, отделяющая упругую область от пластической. Приближенными или численными методами такие задачи исследовались в [2—8], а аналитические решения в замкнутом виде получены только для антиплоской деформации безграничной среды с одной прямолинейной трещиной или периодической системой коллинеарных дефектов [9—14]. В данной работе получено точное аналитическое решение упругопластической задачи об антиплоской деформации полосы с полубесконечной трещиной.

Рассмотрим антиплоскую деформацию полосы из упругопластического материала, занимающую область  $|x| < \infty$ ,  $|y| \leq d$ . Предполагается, что в пластическом состоянии поведение материала описывается условием Треска

$$(1) \quad \sigma_{xz}^2 + \sigma_{yz}^2 = \tau_*^2$$

и ассоциированным законом пластического течения, а в упругом — линейным законом Гука

$$(2) \quad \sigma_{xz} = \mu \frac{\partial w}{\partial x}, \quad \sigma_{yz} = \mu \frac{\partial w}{\partial y},$$

$$(3) \quad \sigma_{xz}^2 + \sigma_{yz}^2 < \tau_*^2,$$

где  $\sigma_{xz}$  и  $\sigma_{yz}$  — компоненты тензора напряжений;  $\tau_*$  — предел текучести;  $\mu$  — модуль сдвига;  $w$  — смещение вдоль оси  $z$ . В полосе при  $y = 0$ ,  $x < 0$  имеется полубесконечный разрез-трещина, берега которого свободны от нагрузки

$$(4) \quad \sigma_{yz} = 0, \quad x < 0, \quad y = 0.$$

Известно [5, 9], что при антиплоской деформации область пластичности примыкает к вершине трещины и расположена целиком в области  $x > 0$ , как показано на рис. 1, а распределение напряжений и деформаций в пластической зоне имеет вид

$$(5) \quad \sigma_{0z} = \tau_*, \quad \sigma_{rz} = 0, \quad \frac{\partial w}{\partial \theta} = \frac{\tau_*}{\mu} R(\theta), \quad \frac{\partial w}{\partial r} = 0.$$

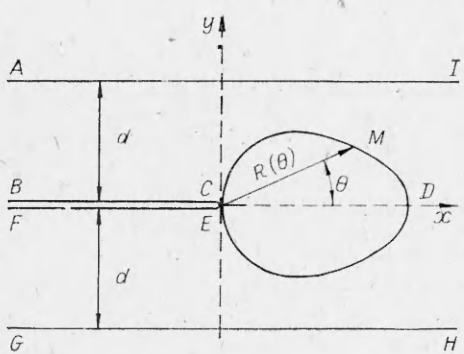


Рис. 1

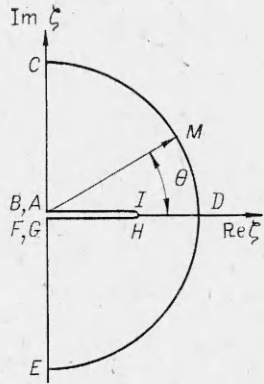


Рис. 2

Здесь  $r^2 = x^2 + y^2$ ;  $R(\theta)$  — расстояние от начала координат до упругопластической границы. Значение  $R(\theta)$  заранее неизвестно и должно быть определено в ходе решения задачи.

Пусть на границе полосы при  $y = \pm d$  задано смещение

$$(6) \quad w(x, \pm d) = \pm d\tau_0/\mu, \quad |x| < \infty,$$

где  $\tau_0$  — постоянная с размерностью напряжения ( $\tau_0 \leq \tau_*$ ). Из (2) и (6) следует

$$(7) \quad \sigma_{xz} = 0, \quad |x| < \infty, \quad y = \pm d;$$

$$(8) \quad \sigma_{yz} - i\sigma_{xz} \rightarrow \tau_0, \quad x \rightarrow +\infty, \quad |y| \leq d.$$

При построении решения в упругой области соотношения (4), (7) служат граничными условиями на берегах трещины и на границе полосы, а соотношение (1) играет роль краевого условия на упругопластической границе. После построения решения в упругой области и определения формы упругопластической границы распределение напряжений и деформаций в пластической области находится из формул (5).

Известно [15], что в упругой области  $\sigma_{yz} - i\sigma_{xz}$  является аналитической функцией  $x - iy$  и наоборот

$$(9) \quad \frac{x - iy}{d} = f'(\zeta), \quad \zeta = \frac{\sigma_{yz} - i\sigma_{xz}}{\tau_*}.$$

Здесь  $f(\zeta)$  — функция, аналитическая при всех  $\zeta$ , соответствующих напряжениям в упругой области, а штрих означает дифференцирование по аргументу. Из (3), (4), (7)–(9) вытекает, что упругая область плоскости  $(x, y)$  отображается на полукруг единичного радиуса с разрезом по вещественной оси в плоскости  $\zeta$  (рис. 2). Точки  $A, B, \dots, H, I, M$  на рис. 2 соответствуют точкам  $A, B, \dots, H, I, M$  на рис. 1, причем на рис. 2 точка  $A$  сливаются с  $B$ ,  $F$  сливаются с  $G$ , а точка  $H$  с  $I$ . Из (5) следует [10], что угол  $\theta$  на рис. 1 равен углу  $\theta$  на рис. 2 для любой точки  $M$  на упругопластической границе.

Обозначим через  $\partial/\partial p$  дифференцирование вдоль длины дуги контура  $A, B, \dots, H, I$  на рис. 2 при обходе против часовой стрелки. Из (9) получаем

$$(10) \quad \frac{\partial f}{\partial p} = \frac{x - iy}{d} \frac{\partial \zeta}{\partial p}.$$

Используя рис. 1 и 2 и выражение (10), можно показать [10], что  $\partial \operatorname{Re} f / \partial p = 0$  на участке границы  $BCDEF$ . Поэтому

$$(11) \quad \operatorname{Re} f = 0, \quad \zeta \in BCDEF,$$

где постоянная интегрирования положена равной нулю. Так как  $y = \pm d$  и  $\partial \zeta / \partial p = \pm 1$  при  $\zeta \in AIHG$ , то  $\partial \operatorname{Im} f / \partial p = -1$  на обоих берегах разре-

за. Следовательно,

$$(12) \quad \ln f = \pm T + \zeta, \quad \zeta \in AIHG.$$

Здесь  $T = \tau_0/\tau_*$ , а верхний и нижний знаки соответствуют верхнему и нижнему берегу разреза на рис. 2.

Таким образом, для определения функции  $f(\zeta)$ , аналитической в области внутри кривой  $A, B, \dots, H, I$ , имеем смешанную краевую задачу (11), (12). Непосредственной проверкой можно убедиться, что решение ее принимает вид

$$(13) \quad f(\zeta) = \frac{1}{\pi} \left[ \frac{\ln(1 - T^2 \zeta^2)}{\zeta} - \zeta \ln \left( 1 - \frac{T^2}{\zeta^2} \right) \right] + \frac{T}{\pi} \ln \left[ \frac{(\zeta - T)(1 + T\zeta)}{(\zeta + T)(1 - T\zeta)} \right],$$

$$f'(\zeta) = -\frac{1}{\pi} \left[ \ln \left( 1 - \frac{T^2}{\zeta^2} \right) + \frac{\ln(1 - T^2 \zeta^2)}{\zeta^2} \right].$$

Для положения упругопластической границы из (9) находим [10]

$$(14) \quad R(\theta)/d = e^{i\theta} f'(e^{i\theta}).$$

Значение смещения на упругопластической границе получается из (5) интегрированием по  $\theta$

$$(15) \quad W = \mu w [R(\theta), \theta]/d\tau_* = -i [f(e^{i\theta}) - f(1)].$$

Формулы (5), (9) и (13)–(15) дают решение упругопластической задачи для полосы с полубесконечной трещиной.

Подставляя (13) в (14) и (15), имеем

$$(16) \quad \begin{aligned} \frac{R(\theta)}{d} &= -\frac{2}{\pi} (\ln q \cos \theta - \varphi \sin \theta), \\ W &= \frac{2}{\pi} (T\varphi + 2T\psi - \varphi \cos \theta - \ln q \sin \theta), \\ q &= (1 - 2T^2 \cos 2\theta + T^4)^{1/2}, \\ \sin \varphi &= \frac{T^2}{q} \sin 2\theta, \quad |\varphi| \leq \frac{\pi}{2}, \\ \sin \psi &= \frac{T \sin \theta}{(1 + 2T \cos \theta + T^2)^{1/2}}, \quad |\psi| \leq \frac{\pi}{2}. \end{aligned}$$

Анализ выражений (16) показывает, что максимальное значение  $R = R_0$  наблюдается при  $\theta = 0$ , а  $W = W_0$  — при  $\theta = \pi/2$ , причем

$$(17) \quad \begin{aligned} \frac{R_0}{d} &= -\frac{2}{\pi} \ln(1 - T^2), \\ W_0 &= \frac{2}{\pi} \left[ 2T \arcsin \frac{T}{\sqrt{1 + T^2}} - \ln(1 + T^2) \right]. \end{aligned}$$

Зависимости  $R_0/d$  и  $W_0$  от безразмерной нагрузки  $T$  приведены на рис. 3 (кривые 1 и 2 соответственно). Из (17) вытекает, что при малых  $T$   $R_0$  и  $W_0$  пропорциональны  $T^2$ . При  $T \rightarrow 1$  в отличие от случая одной трещины конечной длины в безграничной среде [10] значение  $R_0$  обращается в бесконечность по логарифмическому закону, а не степенному. В связи с этим рассмотрим случай  $T = 1$  отдельно. Соотношения (13) тогда упрощаются:

$$\begin{aligned} f(\zeta) &= i(1 - \zeta) + \frac{1}{\pi \zeta} [(1 - \zeta^2) \ln(1 - \zeta^2) + 2\zeta^2 \ln \zeta], \\ f'(\zeta) &= -i - \frac{1}{\pi} \left[ \left( 1 + \frac{i}{\zeta^2} \right) \ln(1 - \zeta^2) - 2 \ln \zeta \right], \end{aligned}$$

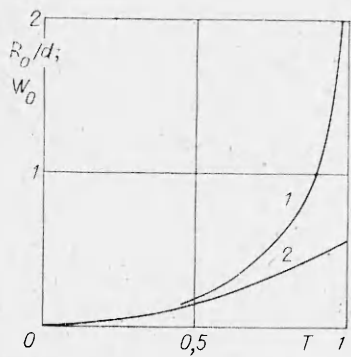


Рис. 3

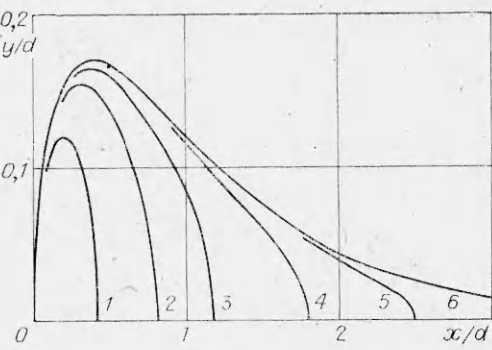


Рис. 4

а выражения для  $R(\theta)$  и  $W$  приводятся к виду

$$(18) \quad \begin{aligned} \frac{R(\theta)}{d} &= \frac{2}{\pi} \left[ \left( \frac{\pi}{2} - \theta \right) \sin \theta - \cos \theta \ln (2 \sin \theta) \right], \\ W &= 1 - \cos \theta + \frac{2}{\pi} [\theta \cos \theta - \sin \theta \ln (2 \sin \theta)], \\ R_0 &= \infty, \quad W_0 = 1 - \frac{2}{\pi} \ln 2, \quad 0 \leq \theta \leq \frac{\pi}{2}. \end{aligned}$$

Форма упругопластической границы, рассчитанная по формулам (16) и (18), показана на рис. 4 (кривые 1—6 соответствуют  $T = 0,7; 0,85; 0,92; 0,97; 0,99$  и 1). При  $T \rightarrow 0$  пластическая зона асимптотически принимает форму круга, что согласуется с результатом для случая одной полубесконечной трещины в безграничной среде [5]. При  $T \rightarrow 1$  длина пластической зоны много больше ее ширины, т. е. с возрастанием нагрузки пластическая область увеличивается главным образом в направлении продолжения трещины.

Значение смещения на упругопластической границе приведено на рис. 5, где кривые 1—3 отвечают  $T = 0,7; 0,85$  и 1. В отличие от случая трещины конечной длины в безграничной среде [10] здесь смещение на упругопластической границе остается конечным при  $T \rightarrow 1$ .

Зависимость напряжения  $\sigma_{yz}$  от координаты  $x$  при  $y = 0$  (на продолжении трещины) показана на рис. 6 сплошными линиями 1—4 для  $T = 0,2; 0,3; 0,4$  и 0,5, штриховыми при тех же  $T$  приведены значения функции

$$(19) \quad \frac{\sigma_{yz}}{\tau_*} = \frac{T}{\sqrt{1 - e^{-\pi x/d}}}$$

описывающей распределение напряжений  $\sigma_{yz}$  на продолжении трещины в

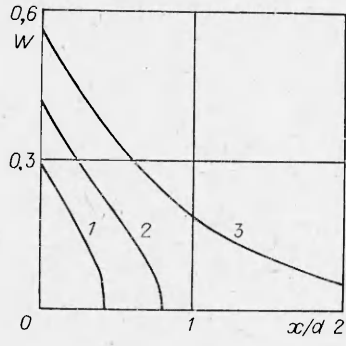


Рис. 5

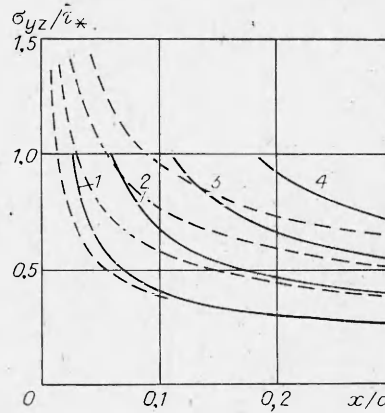


Рис. 6

случае чисто упругой задачи, когда пластическая зона у вершины трещины отсутствует [16]. Из представленных на рис. 6 результатов видно, что зависимости (9) и (19) согласуются между собой лишь при  $x > \Delta$ , где  $\Delta \sim R_0$ . Однако так как  $R_0 \sim T^2$  при  $T \ll 1$ , то в случае малой нагрузки решение упругой задачи с хорошей точностью аппроксимирует решение упругопластической задачи практически во всей полосе  $|y| \leq d$ .

## ЛИТЕРАТУРА

1. Макклентон Ф. Пластические аспекты разрушения // Разрушение.— М.: Мир, 1976.— Т. 3.
2. Кудрявцев Б. А., Парсон В. З. и др. О локальной пластической зоне вблизи конца щели // Изв. АН СССР. МТТ.— 1970.— № 1.
3. Кудрявцев Б. А., Парсон В. З. и др. О локальной пластической зоне вблизи конца щели (плоская деформация) // Изв. АН СССР. МТТ.— 1970.— № 5.
4. Парсон В. З., Морозов Е. М. Механика упругопластического разрушения.— М.: Наука, 1974.
5. Слепян Л. И. Механика трещин.— Л.: Судостроение, 1981.
6. Греков М. А. О пластических зонах у вершины трещины при плоской деформации // ФХММ.— 1978.— № 5.
7. Hilton P. D., Hutchinson J. W. Plastic intensity factors for cracked plates // Engng Fract. Mech.— 1971.— V. 3, N 4.
8. Levy N., Marcal P. V. et al. Small scale yielding near a crack in plane strain: a finite element analysis // Intern. J. Fracture Mech.— 1971.— V. 7, N 2.
9. Hult J. A., H. McClintock F. A. Elastic-plastic stress and strain distribution around sharp notches under repeated shear // 9th Intern. Congr. Appl. Mech. Brussels, 1956; Actes.— Bruxelles, 1957.— V. 8.
10. Rice J. R. Contained plastic deformation near cracks and notches under longitudinal shear // Intern. J. Fracture Mech.— 1966.— V. 2, N 2.
11. Edmunds T. M., Willis J. R. Analysis of a crack sited at a notch in an elastic-perfectly plastic strip subjected to longitudinal shear // Intern. J. Fracture.— 1976.— V. 12, N 3.
12. Черепанов Г. П. Упругопластическая задача в условиях антиплюской деформации // ПММ.— 1962.— Т. 26, вып. 4.
13. Сегалов А. Е. О форме пластических зон, возникающих при антиплюской деформации полупространства, ослабленного вырезом конечной ширины // Изв. АН СССР. МТТ.— 1970.— № 5.
14. Артур П., Блэкберн У. Влияние формы пластической зоны на ее протяженность и раскрытие трещин // Новые методы оценки сопротивления металлов хрупкому разрушению.— М.: Мир, 1972.
15. Саврук М. П. Двумерные задачи упругости для тел с трещинами.— Киев: Наук. думка, 1981.
16. Новиков В. Г., Тулинов Б. М. Стационарное движение системы параллельных трещин продольного сдвига // ПМТФ.— 1984.— № 2.

Поступила 30/I 1986 г.

УДК 624.131 + 539.215

## ПОЛЗУЧЕСТЬ ЛЕДЯНОГО ПОКРОВА, ЛЕЖАЩЕГО НА ГИДРАВЛИЧЕСКОМ ОСНОВАНИИ, ПРИ СОСРЕДОТОЧЕННОМ ВОЗДЕЙСТВИИ

B. M. Александров, L. M. Моносов, A. M. Цыбин,  
A. A. Шматкова  
(Москва, Ленинград)

Рассмотрена бесконечная тонкая пластиинка, находящаяся в условиях цилиндрического квазистатического изгиба, на гидравлическом основании — слое вязкой жидкости конечной глубины. Материал пластиинки несжимаем и таков, что интенсивности девиатора скоростей деформаций и девиатора напряжений связаны степенной зависимостью. Такие соотношения часто принимают для описания напряженно-деформированного состояния конструкций из льда, находящихся в условиях развитой установленной ползучести. В случае изгиба пластиинки сосредоточенной силой получены асимптотические разложения для прогиба при большом и малом времени. Построенные решения дали возможность найти зависимость прогибов ледяного покрова от времени, аналогичную той, которая имеется при выполнении натурных исследований.